

УДК 519.95

РЕАЛИЗАЦИЯ АВТОМАТОВ В КРИОТРОННОЙ ВЫЧИСЛИТЕЛЬНОЙ СРЕДЕ ПО ЗАДАННОМУ ГРАФУ СОСТОЯНИЙ

О.Л. Бандман

В [1] изложена методика реализации логических функций в криотронной вычислительной среде, элементы которой выполняют полный набор соединительных функций ("крест с точкой" - элемент "P", "крест без точки" - элемент "D" и полное размыкание - элемент "O") и функцию нормально-замкнутого контакта реле. Методика основана на том, что каждой форме задания логической функции в базисе ("И", "ИЛИ", "НЕ") сопоставляется матрица инцидентий  $T(t_{ij} = \{0,1\})$ , легко преобразуемая в программу настройки вычислительной среды. В [1] показано, как составляется матрица  $T$  для автомата, заданного своими каноническими уравнениями.

В настоящей работе предлагается формальный метод построения подобной матрицы инцидентий непосредственно из графа состояний автомата. Этот метод позволяет избежать иногда довольно сложного перехода от графа состояний к каноническим уравнениям.

I. Форма задания автомата

$X = \{x_1, \bar{x}_1, \dots, x_n, \bar{x}_n\}$  - множество входных переменных и их отрицаний;

$R = \{\rho_1, \rho_2, \dots, \rho_r\}$  - множество состояний входа,  $\tau=2$

- $Q = \{q_1, \bar{q}_1, \dots, q_p, \bar{q}_p\}$  - множество промежуточных переменных и их отрицаний;
- $K = \{x_1, \bar{x}_2, \dots, x_v\}$  - множество промежуточных состояний  $\sigma = 2^P$ ;
- $Z = \{z_1, \bar{z}_1, \dots, z_m, \bar{z}_m\}$  - множество выходных переменных и их отрицаний;
- $L = \{\lambda_1, \lambda_2, \dots, \lambda_e\}$  - множество состояний выхода.

Пусть автомат задан графом состояний  $\mathcal{G}_s$ . Множеству вершин графа  $\{v_i\}$  сопоставлено множество  $K$ , множеству дуг  $\{b_{ij}\}$  - множество пар входных и выходных состояний  $\{m_{ij}\}$  вида:

$$m_{ij} = \bigvee_{v=1}^{v_j} \rho_{ij}^v \lambda_{ij}^v, \quad (1)$$

где  $(\rho_{ij}^v, \lambda_{ij}^v) \in [R \times L]$ .

Входные и промежуточные состояния автомата  $\rho_{ij}^v = \bar{o}_{ij}^{v_1} o_{ij}^{v_2} \dots \bar{o}_{ij}^{v_n}$  и  $x_i = \varepsilon_i^1 \varepsilon_i^2 \dots \varepsilon_i^P$ , ( $\varepsilon, \varepsilon_i \in \{0,1\}$ ) могут быть выражены в виде конъюнкций:

$$\left. \begin{aligned} \rho_{ij}^v(x) &= x_1^{\varepsilon_{ij}^1} x_2^{\varepsilon_{ij}^2} \dots x_n^{\varepsilon_{ij}^n}, \\ x_i(Q) &= q_1^{\varepsilon_i^1} q_2^{\varepsilon_i^2} \dots q_p^{\varepsilon_i^p}, \end{aligned} \right\} \quad (2)$$

$$\left. \begin{aligned} x_k^{\varepsilon_{ij}^k} &= x_k &&, \text{ если } \varepsilon_{ij}^k = 1, \\ x_k^{\varepsilon_{ij}^k} &= \bar{x}_k &&, \text{ если } \varepsilon_{ij}^k = 0, \end{aligned} \right\} \quad (3)$$

$$\left. \begin{aligned} q_k^{\varepsilon_i^k} &= q_k &&, \text{ если } \varepsilon_i^k = 1, \\ q_k^{\varepsilon_i^k} &= \bar{q}_k &&, \text{ если } \varepsilon_i^k = 0. \end{aligned} \right\} \quad (4)$$

Подмножества входных и промежуточных переменных, входящих в (2), обозначим соответственно  $x_{ij}^v$  и  $Q_i$ , причем

$$x_{ij}^v = \{x_k^{\varepsilon_{ij}^k}\} \subset X \quad (k=1,2,\dots,n), \quad Q_i = \{q_k^{\varepsilon_i^k}\} \subset Q \quad (k=1,2,\dots,p).$$

Условия детерминированности автомата налагают на функции  $\rho_{ij}^v(x)$  и  $\alpha_i(Q)$  следующие ограничения:

$$I) \quad \rho_{ij}^v(x) \rho_{ik}^\mu(x) = 0, \quad i, j, k = 1, 2, \dots, v, \quad (5)$$

$v = 1, 2, \dots, v_{ij}$ ,  $\mu = 1, 2, \dots, v_{ik}$  при  $j = k$ ,  $v \neq \mu$ ;

$$2) \quad \alpha_i(Q) \alpha_j(Q) = 0, \quad i, j = 1, 2, \dots, v; \quad (6)$$

$$3) \quad \bigvee_{j=1}^v \bigvee_{v=1}^{v_{ij}} \rho_{ij}^v(x) = 1, \quad i = 1, 2, \dots, v; \quad (7)$$

$$4) \quad \bigvee_{i=1}^v \alpha_i(Q) = 1. \quad (8)$$

Кроме того, для асинхронных автоматов, у которых все состояния устойчивы

$$\bigvee_{j=1}^{v_{ij}} \rho_{ij}^v(x) \geq \bigvee_{\substack{i=1 \\ i \neq j}}^v \bigvee_{v=1}^{v_{ij}} \rho_{ij}^v(x). \quad (9)$$

## 2. Каскадная реализация автомата

Непосредственный переход от графа состояний автомата к реализующей его схеме в среде осуществляется на основе каскадной реализации [1]. При этом функции переходов и выходов в виде

$$z_h(t) = \phi[x(t), Q(t)], \quad h = 1, 2, \dots, m, \quad (10)$$

$$q_k(t+1) = \psi[x(t), Q(t)], \quad k = 1, 2, \dots, p, \quad (11)$$

не используются. Они получаются как результаты выполнения логических операций над некоторыми функциями  $d_{j\lambda_i}(x, Q)$ , характеризующими каждую возможную пару  $(\alpha_j, \lambda_i) \in [\mathcal{K} \times L]$ .

Поставим в соответствие каждому входному состоянию  $\rho_{ij}^v$  конъюнкцию вида:

$$\alpha_i(Q) \rho_{ij}^v(x) = c_{ij}^v(Q, x). \quad (12)$$

Множество всевозможных конъюнкций  $\{c_{ij}^v\}$  ( $i, j = 1, 2, \dots, v$ ,  $v = 1, 2, \dots, v_{ij}$ ) обозначим через  $C$ . Мощность этого множества

$$C \leq v^v.$$

Разобьем  $C$  на подмножества  $C_{j\lambda_i}$ , где к каждому из них отнесем те  $c_{ij}^v$ , которые соответствуют дугам, сходящимся в  $j$ -й вершине и отмеченным состоянием выхода  $\lambda_i$ . Объединим элементы подмножеств  $C_{j\lambda_i}$  в дизъюнкцию вида

$$d_{j\lambda_i}(x, Q) = \bigvee_{c_{ij}^v \in C_{j\lambda_i}} c_{ij}^v(x, Q) \quad (15)$$

и обозначим множество этих дизъюнкций через  $D = \{d_{j\lambda_i}\} (i, j = 1, 2, \dots, v)$ . Поскольку каждая  $d_{j\lambda_i}$  соответствует подмножеству дуг, сходящихся в  $j$ -й вершине и отмеченных выходным состоянием  $\lambda_i$ , то есть поставлена в соответствие паре  $(\alpha_j, \lambda_i) \in [\mathcal{K} \times L]$ , то мощность  $D$

$$d \leq vL. \quad (16)$$

Множество  $D$  можно разбить  $p$  различными способами на пары подмножеств  $D'_k$  и  $D''_k$  и  $m$  различными способами на пары подмножеств  $D'_h$  и  $D''_h$  следующим образом:

$$D'_k = \{d_{j\lambda_i}\} \quad - \text{для всех } j, \text{ для которых } \varepsilon_j^k = 1; \quad ;$$

$$D''_k = \{d_{j\lambda_i}\} \quad - \text{для всех } j, \text{ для которых } \varepsilon_j^k = 0; \quad (17)$$

$$D'_h = \{d_{j\lambda_i}\} \quad - \text{для всех } \lambda_i, \text{ для которых } z_i^h = 1;$$

$$D''_h = \{d_{j\lambda_i}\} \quad - \text{для всех } \lambda_i, \text{ для которых } z_i^h = 0. \quad (18)$$

При этом из (5 - 8) следует, что

$$D'_k \cup D''_k = D, \quad D'_k \cap D''_k = \emptyset; \quad (19)$$

$$D'_h \cup D''_h = D, \quad D'_h \cap D''_h = \emptyset.$$

Функции перехода и выхода могут быть выражены через дизъюнкции  $d_{j\lambda_i}$  и приведены к форме, удобной для каскадной реализации:

$$q_k(t+1) = \bigvee_{d_{j\lambda_i} \in D'_k} d_{j\lambda_i}(x, Q) = \bigwedge_{d_{j\lambda_i} \in D''_k} \bar{d}_{j\lambda_i}(x, Q), \quad \left. \right\} \quad (20)$$

$$\bar{q}_k(t+1) = \bigvee_{d_{j\lambda_i} \in D''_k} d_{j\lambda_i}(x, Q) = \bigwedge_{d_{j\lambda_i} \in D'_k} \bar{d}_{j\lambda_i}(x, Q), \quad \left. \right\} \quad (21)$$

$$z_h = \bigvee_{d_{j\lambda_i} \in D'_h} d_{j\lambda_i}(x, Q) = \bigwedge_{d_{j\lambda_i} \in D''_h} \bar{d}_{j\lambda_i}(x, Q), \quad \left. \right\} \quad (22)$$

$$\bar{z}_h = \bigvee_{d_{j\lambda_i} \in D''_h} d_{j\lambda_i}(x, Q) = \bigwedge_{d_{j\lambda_i} \in D'_h} \bar{d}_{j\lambda_i}(x, Q). \quad \left. \right\} \quad (23)$$

В первом каскаде реализуются все  $v^v$  элементарных конъюнкций  $c_{ij}^v(Q, x) \in C$  и некоторые из них объединяются в

дизъюнкции  $d_{j\lambda_i}(Q, x) \in D$ ; во втором каскаде реализуются функции  $q_k(t+1)$  и  $\bar{z}_h$  в виде конъюнкций (19) и (20). Из условий (5-8) следует, что множество  $D$  образует ортогональную систему функций, удовлетворяющую тем же условиям. Это позволяет все дизъюнкции  $d_{j\lambda_i}(Q, x)$  первого каскада реализовать в виде параллельных ветвей, питаемых одним постоянным током. При этом не возникает необходимости в дополнительной организации сверхпроводящих путей [5], поскольку существование такого пути обеспечивается условием истинности дизъюнкций всех  $d_{j\lambda_i}$ , а условие ортогональности обеспечивает его единственность. Для функций второго каскада эти условия обеспечиваются соотношениями (19).

### 3. Матрица инциденций асинхронного автомата

Графу состояний  $\mathcal{Y}_S$  поставим в соответствие матрицу инциденций  $R = [r_{\alpha\beta}]$  порядка  $\alpha \times \beta$ , где  $\alpha \in A$ ,  $\beta \in B$ ,  $A$  и  $B$  - множества строк и столбцов соответственно. Множеству  $A$  ставится в соответствие объединение  $C$ ,  $Q$  и  $Z$ , а множеству  $B$  - объединение  $X$ ,  $Q$  и  $D$ . В соответствии с этим  $A = A_C \cup A_Q \cup A_Z$ ,  $B = B_X \cup B_Q \cup B_D$ , где  $A_C, A_Q, A_Z, B_X, B_Q$  и  $B_D$  - подмножества строк и столбцов, соответствующих элементам  $C, Q, Z, X$  и  $D$ , ( $A_C \sim C, A_Q \sim Q$  и т.д.).

Разобьем матрицу  $R$  на 9 подматриц:  $R_{cx}, R_{cq}, R_{qx}, R_{qq}, R_{qd}, R_{zx}, R_{zq}, R_{cd}, R_{zd}$  (рис. I). Элементами каждой из них являются пересечения подмножеств элементов соответствующих строк и столбцов. Построение  $R$ -матрицы удобно вести, рассматривая каждую её подматрицу отдельно.

$$1. R_{cx} - \text{матрица инциденций подмножеств } x_{ij}^v \text{ в } x. \\ r_{\alpha\beta} = \begin{cases} 1, & \text{если } \alpha \sim c_{ij}^v, \beta \sim x_k \in x_{ij}^v, \\ 0, & \text{если } \alpha \sim c_{ij}^v, \beta \sim x_k \notin x_{ij}^v. \end{cases} \quad (22)$$

Расстановка единиц и нулей в  $R_{cx}$  сводится к последовательной записи всех наборов  $r_{ij}^v$  в строках  $R_{cx}$ , причем если  $b_{ij}^v = 1$ , то единица ставится в столбец  $\beta \sim x_k$ , если  $b_{ij}^v = 0$ , то единица ставится в столбце  $\beta \sim \bar{x}_k$ . Одни и те же наборы следует записывать столько раз, сколько они встречаются на изображении графа.

	$B_x$	$B_q$	$B_d$	
$A_C$	$x, \bar{x}_i$	$\bar{z}_k, q, \bar{q}_k$	$d, \bar{d}_k$	$d^v$
$A_Q$	$\bar{z}_k, q, \bar{q}_k$	$R_{qx}$	$R_{qg}$	$R_{qd}$
$A_Z$	$\bar{z}_k, \bar{x}_i$	$R_{zx}$	$R_{zg}$	$R_{zd}$
	$\bar{z}_n$			

$= R$

Рис. I.

2.  $R_{cq}$  - матрица инциденций подмножеств  $Q_i$  в  $Q$ .

$$\left. \begin{array}{l} r_{\alpha\beta} = 1, \text{ если } \alpha \sim c_{ij}^v, \beta \sim q_k \in Q_i, \\ r_{\alpha\beta} = 0, \text{ если } \alpha \sim c_{ij}^v, \beta \sim q_k \notin Q_i. \end{array} \right\} \quad (23)$$

Расстановка единиц и нулей в  $R_{cq}$  производится простым перечислением кодов состояний так, что, если  $\epsilon_i^k = 1$ , то единица ставится в столбец  $\beta \sim q_k$ , а если  $\epsilon_i^k = 0$ , то единица ставится в столбец  $\beta \sim \bar{q}_k$ .

3.  $R_{cd}$  - транспонированная матрица инциденций подмножеств  $c_{j\lambda_i}$  в  $C$ .

$$\left. \begin{array}{l} r_{\alpha\beta} = 1, \text{ если } \alpha \sim c_{ij}^v \in C_{j\lambda_i}, \beta \sim d_{j\lambda_i}, \\ r_{\alpha\beta} = 0, \text{ если } \alpha \sim c_{ij}^v \notin C_{j\lambda_i}, \beta \sim d_{j\lambda_i}. \end{array} \right\} \quad (24)$$

4.  $R_{qg}$  - квадратная диагональная единичная матрица.

$$\left. \begin{array}{l} r_{\alpha\beta} = 1, \text{ если } \alpha \sim q_k, \beta \sim q_k, \\ r_{\alpha\beta} = 0, \text{ если } \alpha \sim q_k, \beta \sim q_l, k \neq l. \end{array} \right\} \quad (25)$$

5.  $R_{qd}$  - матрица инциденций подмножеств  $D'_k$  и  $D''_k$  в  $D$ .

$$\left. \begin{array}{l} r_{\alpha\beta} = 1, \text{ если } \alpha \sim q_k, \beta \sim d'_{j\lambda_i} \in D'_k \text{ или } \alpha \sim \bar{q}_k, \beta \sim d'_{j\lambda_i} \in D''_k, \\ r_{\alpha\beta} = 0, \text{ если } \alpha \sim q_k, \beta \sim d'_{j\lambda_i} \in D'_k \text{ или } \alpha \sim \bar{q}_k, \beta \sim d'_{j\lambda_i} \in D''_k. \end{array} \right\} \quad (26)$$

6.  $R_{zD}$  - матрица инциденций подмножеств  $D_h'$  и  $D_h''$  в  $D$ .  
 $\tau_{\alpha\beta} = 1$ , если  $\alpha \sim z_h$ ,  $\beta \sim d_j$ ,  $\alpha \in D_h'$ , или  $\alpha \sim \bar{q}_k$ ,  $\beta \sim d_j$ ,  $\alpha \in D_h''$ , (27)  
 $\tau_{\alpha\beta} = 0$ , если  $\alpha \sim z_h$ ,  $\beta \sim d_j$ ,  $\alpha \in D_h''$  или  $\alpha \sim \bar{q}_k$ ,  $\beta \sim d_j$ ,  $\alpha \in D_h'$ .

7. Матрицы  $R_{qx}$ ,  $R_{xz}$  и  $R_{zq}$  - нулевые.

#### 4. Матрица инциденции синхронного автомата

В синхронных автоматах сигналы, соответствующие  $q_k(t+1)$ , должны передаваться в цепи  $q_k$  только после прихода такти - рующих импульсов. Поэтому необходима организация дополнительных запоминающих цепей, срабатывающих от этих импульсов. В качестве таких цепей можно использовать параллельные ветви второго каскада, реализующие функции  $q_k(t+1)$ , а выходы их соединить с входами  $q_k$  через промежуточный третий каскад, в котором выполняется только функция отрицания. Для получения задержки на такт питание второго каскада должно производиться от генератора тактирующих импульсов.

В связи с этим в матрицу инциденций синхронного автомата  $R^1[\tau_{\alpha\beta}^1]$  приходится вводить дополнительно  $2P$  строк ( $A_q'$ ) и  $2P$  столбцов ( $B_q'$ ). В полученных (в результате добавления строк  $A_q'$  и столбцов  $B_q'$ ) подматрицах единицы ставятся только на пересечениях строк и столбцов, соответствующих одинаковым промежуточным переменным:

$$\begin{aligned}\tau_{\alpha\beta}^1 &= 1, \text{ если } \alpha \in A_q^1, \beta \in B_q^1, \alpha \sim q_i, \beta \sim q_k, i=k, \\ \tau_{\alpha\beta}^1 &= 0, \text{ если } \alpha \in A_q^1, \beta \in B_q^1, \alpha \sim q_i, \beta \sim q_k, i \neq k.\end{aligned}\quad (28)$$

Остальные подматрицы строятся по тем же правилам, что и для асинхронного автомата за исключением  $R_{99}$ , которая из единичной превращается в нулевую (рис.2).

#### 5. Сокращение матрицы инциденций

Матрица инциденций автомата может оказаться сократимой. Это значит, что в ней может быть уменьшено число строк или столбцов без изменения логических функций автомата.

Поскольку каждая строка  $\alpha \in A_Q$  или  $\alpha \in A_z$  реализует отдельную функцию второго каскада, то из  $A_Q$  и  $A_z$  могут

быть исключены только те строки и столбцы, которые имеют себе равные в тех же подмножествах. Такая ситуация мало вероятна, если заданный автомат подвергался рассмотрению с целью минимизации числа состояний.

Наиболее вероятными оказываются случаи, когда удается исключить часть строк из  $A_C$ . Эта операция полностью соответствует сокращению д.н.ф. путем тождественных преобразований и сводится к применению следующих правил.

	$B_x$	$B_q$	$B_d$	$B_q'$
$A_C$	$x, \bar{x}, \dots, \bar{z}_1, \bar{q}_1, \dots, \bar{q}_P, d_1, d_2, \dots, d_P, \bar{q}_1, \dots, \bar{q}_P$	$c_1', c_2'$	$R_{ex}$	$R_{eq}$
$A_q$	$\vdots$	$\vdots$	$R_{ed}$	$R_{eq'}$
$R^1$	$\vdots$	$\vdots$	$R_{qz}$	$R_{qg}$
$A_d$	$\vdots$	$\vdots$	$R_{qd}$	$R_{qg'}$
$A_z$	$\vdots$	$\vdots$	$R_{zx}$	$R_{zg}$
			$R_{zd}$	$R_{zg'}$
			$R_{q'x}$	$R_{q'g}$
			$R_{q'd}$	$R_{q'g'}$

Рис. 2.

1. Если в подмножестве строк  $A_{C_j, \lambda_i} \sim C_{j, \lambda_i}$  какая-либо  $\alpha_i$ -я строка покрывает другую  $\alpha_2$ -ю, т.е.  $\tau_{\alpha_i, \beta_i} \geq \tau_{\alpha_2, \beta_i}$  ( $i = 1, 2, \dots, b$ ), то  $\alpha_i$ -ю строку можно вычеркнуть.

2. Если в подмножестве строк  $A_{C_j, \lambda_i} \sim C_{j, \lambda_i}$  существует пара строк  $\alpha_1$  и  $\alpha_2$ , различающихся только двумя элементами в столбцах  $\beta_1$  и  $\beta_2$ , соответствующих одной и той же переменной ( $\beta_1 \sim x$ ,  $\beta_2 \sim \bar{x}$ , или  $\beta_1 \sim q_i$ ,  $\beta_2 \sim \bar{q}_i$ ), то

одну из этих строк можно вычеркнуть, причем в оставшейся следует поставить нули в обоих столбцах:  $\beta$ , и  $\beta_2$ . В автоматах на устойчивых состояниях каждая пара  $(\rho_{ij}^v, \lambda_{ij}^v)$  на дуге  $b_{ij}$  имеет ей равную  $(\rho_{jj}^v, \lambda_{jj}^v)$  на дуге  $b_{jj}$ . Если при этом  $\alpha_i$  отличается от  $\alpha_j$  только одним знаком, то строка  $\alpha \sim c_{ij}^v$  исключается. Более того, если при составлении графа  $\mathcal{G}_s$  применялось противогоночное кодирование, то все строки

$\alpha \sim c_{ij}^v$  ( $i \neq j$ ) исключаются, а в оставшихся строках  $c_{jj}^v$

все элементы в столбцах  $\beta \sim q_k$ , для которых  $\varepsilon_j^k \neq \varepsilon_i^k$ , заменяются на нули.

Учитывая возможность минимизации матрицы для асинхронных автоматов с устойчивыми состояниями, можно сразу строить сокращенную  $R$ -матрицу. При этом подмножество  $A_c$  должно состоять только из строк и столбцов, соответствующих  $c_{jj}^v$  ( $j=1,2,\dots,v$ ).

## 6. Переход от матрицы инцидентий к программе настройки

Переход от матрицы инцидентий к программе настройки среди производится следующим образом.

1. Каждому элементу матрицы ставится в соответствие элемент числительной среды.

2. В подматрицах  $R_{cx}$ ,  $R_{cq}$ ,  $R_{qd}$ ,  $R_{zd}$  и  $R'_{q'q'}$  всем единицам ставятся в соответствие элементы  $F$ .

3. В подматрицах  $R_{cd}$ ,  $R_{qq}$ ,  $R'_{qq'}$ ,  $R'_{q'q}$  и  $R'_{q'q'}$  всем единицам ставятся в соответствие элементы  $D$ .

4. Всем нулям ставятся в соответствие элементы  $D$ .

5. К подматрице  $R_{cx}$  слева приписывается столбец из  $P$ -элементов. К подматрице  $R_{zd}$  (или  $R'_{zd}$ ) снизу приписывается строка  $P$ -элементов. Эти строки и столбец являются узловыми точками для подвода тока питания первого каскада.

6. Справа к подматрице  $R_{qd}$  и  $R_{zc}$  (или  $R'_{q'q'}$  и  $R'_{zq'}$  для синхронного автомата) приписываются блоки  $\pi_q'$  и  $\pi_z'$  размерами  $(2p \times p)$  и  $(2m \times m)$  (рис.8).

	1	2	...	p
$\pi_q'$	$P$	$D$	...	$D$
	$P$	$D$	...	$D$
	$D$	$P$	...	$D$
	$D$	$P$	...	$D$
	...	...	...	...
	$D$	$D$	...	$D$
	$D$	$D$	...	$D$

	1	2	...	m
$\pi_z'$	$P$	$D$	...	$D$
	$P$	$D$	...	$D$
	$D$	$P$	...	$D$
	$D$	$P$	...	$D$
	...	...	...	...
	$D$	$D$	...	$D$
	$D$	$D$	...	$D$

Рис. 3.

Сверху к  $R_{cq}$  приписывается блок  $\pi_q''$ , имеющий вид транспонированного  $\pi_q'$ . Каждая строка  $\pi_q''$  совместно с соответствующим столбцом  $\pi_q'$  образует пару узловых точек для подвода и отвода тока питания второго каскада.

7. При реализации синхронного автомата к  $R'_{q'x}$  слева и к  $R'_{q'q'}$  снизу приписываются блоки  $\pi_q'$  и  $\pi_q''$  соответственно, в которых каждая пара строк образует узловые точки для подвода и отвода тактирующих импульсов.

8. Строки программы  $\alpha_i \in A_z$  ( $i=1,2,\dots,2m$ ) являются выходами автомата.

9. Входами автомата являются столбцы  $\beta_k \in B_x$  ( $k=1,2,\dots,2n$ ).

## 6. Оценка сложности реализации автомата в среде

Сложностью реализации автомата в среде, очевидно, надо называть число элементов среды, занятых схемой автомата. Поскольку при переходе от матрицы инцидентий к программе настройки размеры последней определяются размерностью  $R$  (или  $R'$ ), то сложность реализации может быть выражена непосредственно через число входных, промежуточных и выходных состояний.

Размерность матриц  $R$  и  $R'$  легко определяется через мощности множеств  $A$  и  $B$ .

$$|R| = (a \times b) = (c + 2m + 2p)(2n + 2p + d), \quad (29)$$

$$|R'| = (a' \times b') = (c + 2m + 4p)(2n + 4p + d').$$

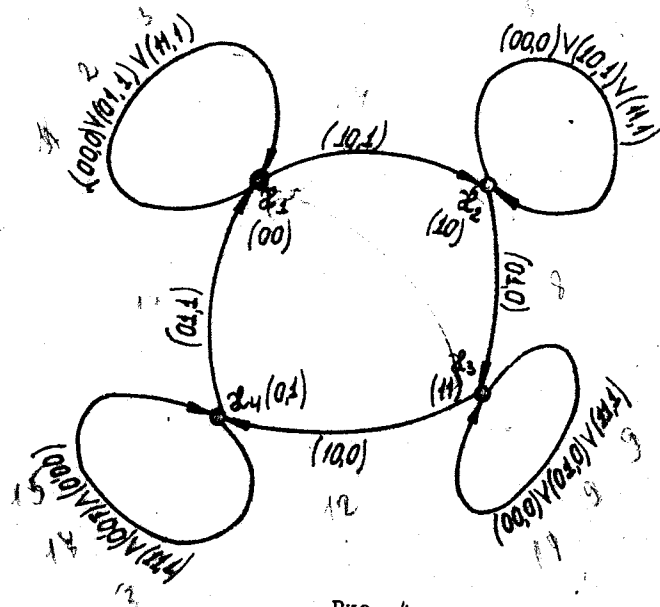


Рис. 4.

$x_1$	$x_2$	$x_3$	$x_4$	$x_5$	$x_6$	$x_7$	$x_8$	$d_1$	$d_2$	$d_3$	$d_4$	$d_5$	$d_6$	$d_7$	$d_8$
1	1	1	1	1	1	1	1	1	1	1	1	1	1	1	1
1	1	1	1	1	1	1	1	1	1	1	1	1	1	1	1
1	1	1	1	1	1	1	1	1	1	1	1	1	1	1	1
1	1	1	1	1	1	1	1	1	1	1	1	1	1	1	1
1	1	1	1	1	1	1	1	1	1	1	1	1	1	1	1
1	1	1	1	1	1	1	1	1	1	1	1	1	1	1	1
1	1	1	1	1	1	1	1	1	1	1	1	1	1	1	1
1	1	1	1	1	1	1	1	1	1	1	1	1	1	1	1
1	1	1	1	1	1	1	1	1	1	1	1	1	1	1	1
1	1	1	1	1	1	1	1	1	1	1	1	1	1	1	1
1	1	1	1	1	1	1	1	1	1	1	1	1	1	1	1
1	1	1	1	1	1	1	1	1	1	1	1	1	1	1	1
1	1	1	1	1	1	1	1	1	1	1	1	1	1	1	1
1	1	1	1	1	1	1	1	1	1	1	1	1	1	1	1
1	1	1	1	1	1	1	1	1	1	1	1	1	1	1	1
1	1	1	1	1	1	1	1	1	1	1	1	1	1	1	1
1	1	1	1	1	1	1	1	1	1	1	1	1	1	1	1
1	1	1	1	1	1	1	1	1	1	1	1	1	1	1	1
1	1	1	1	1	1	1	1	1	1	1	1	1	1	1	1

Рис. 5.

$$R =$$

Подставив в (29) выражение (13) и учитя число элементов, необходимых для подвода тока питания, получим сложность реализации в среде любого автомата с  $\tau$  входными,  $\ell$  выходными и  $v$  промежуточными состояниями.

Для асинхронного и синхронного автоматов соответственно

$$N(\tau, \ell, v) \leq [v\tau + \log_2(v\ell)^2 + 1] [v\ell + \log_2(v\tau)^2 + 1] + 2[\log_2 v]^2 [\log_2 \ell], \quad (30)$$

$$N'(\tau, \ell, v) \leq [v\tau + \log_2(v\ell)^2 + 1] [v\ell + \log_2(v^2\tau)^2 + 1] + 4[\log_2 v]^2 [\log_2 \ell].$$

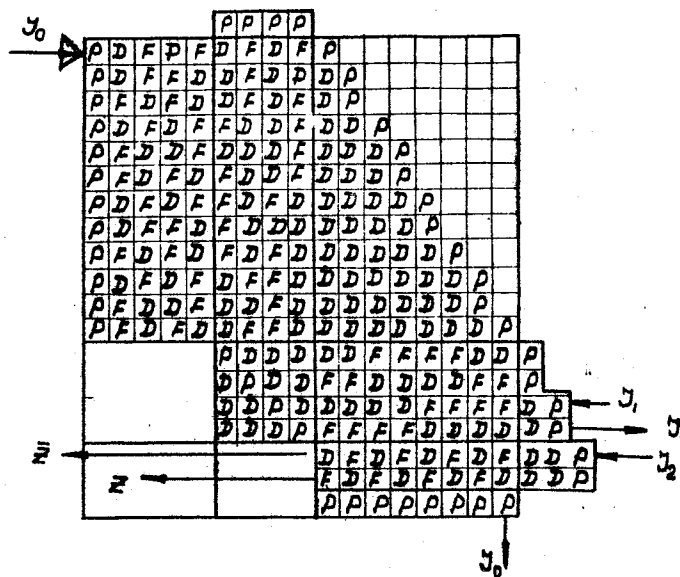


Рис. 6.

ПРИМЕР. Асинхронный автомат задан графом состояний (рис.4). Сокращенная матрица  $R$  имеет размерность  $(a \times b) = 18 \times 16$  и изображена на рис.5, а соответствующая ей программа настройки — на рис. 6.

#### ЛИТЕРАТУРА

1. О.Л.БАНДМАН. Реализация автоматов в криотронной вычислительной среде. Труды I Всесоюзной конференции по вычислительным системам, вып.2, 1968.
2. Э.В.ЕВРЕИНОВ, Ю.Г.КОСАРЕВ. Вычислительные системы высокой производительности, Новосибирск, 1966.

3. А.А.КОЙФМАН, В.А.СКОРОБОГАТОВ. Программирование для плоской вычислительной среды. Вычислительные системы, вып.26, Новосибирск, 1967.
4. Н.Е.КОБРИНСКИЙ, Б.А.ТРАХТЕНБРУТ. Введение в теорию конечных автоматов, Москва, 1964.
5. Дж.БРЭМЕР. Сверхпроводящие устройства, Москва, 1964.

Поступила в редакцию  
9.VI.1968 г.